

光 学 相 关 仪*

清华大学物理教研组
燃料化学工业部 646 厂 光学相关仪小组

一、光学相关原理

光学相关仪如图 1 所示。

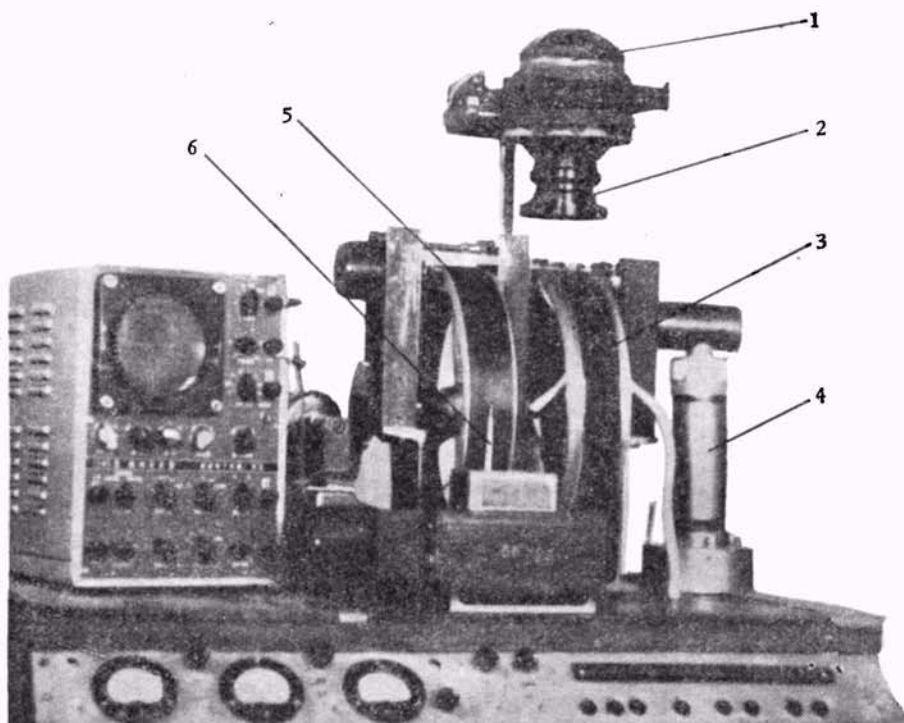


图 1 光 学 相 关 仪

1—光源； 2—透镜； 3—分析鼓；
4—光电倍加管； 5—记录鼓； 6—记录笔

相关分析是一种能从强噪音中拾取弱信号的十分有效的方法。如有两个随机的函数 $X(t)$ 和 $Y(t)$ ，它们的相关函数表示为

* 1972年7月13日收到。

$$R(\tau) = \int_{-\infty}^{+\infty} X(t)Y(t + \tau)dt. \quad (1)$$

如果对 $R(\tau)$ 进行付里叶变换:

$$R(\omega) = \int_{-\infty}^{+\infty} R(\tau) e^{-i\omega\tau} d\tau = \int_{-\infty}^{+\infty} e^{-i\omega\tau} d\tau \int_{-\infty}^{+\infty} X(t)Y(t + \tau)dt,$$

令 $t + \tau = s$, 则得

$$R(\omega) = \int_{-\infty}^{+\infty} X(s)e^{i\omega s} ds \int_{-\infty}^{+\infty} Y(s)e^{-i\omega s} ds = X(-\omega) Y(\omega). \quad (2)$$

从(2)式可知: 相关分析相当于 $Y(s)$ 信号通过一个滤波器, 这个滤波器的频率特性为 $X(-\omega) = X^*(\omega)$, 即为标准信号的付里叶谱的共轭复数谱.

从图 2 中可以看出这种滤波效果是十分明显的。图 2 中, (a) 是未经相关处理的记录, 即 $Y(s)$; (b) 是经过光学相关仪处理后的互相关函数。这里取 $X(s) = \cos 2\pi f s$, $f = 30$ 周/秒。

人们利用这个特点, 在实际工作中采用相关方法对随机信号进行期望分析。

从式(1)可知, 相关分析在数学上必须完成三种运算, 即相乘、坐标移动和积分。用光学方法实现相关的最大特点是一次就可完成这三种运算, 速度快, 效率高。设备简单、成本低则更是其它方法不能比拟的。

光路如图 3 所示。光线从点光源 O 发出, 经过透镜 L_1 变为均匀的平行光束, 它垂直地透过两个相互平行的变密度底片, 透镜 L_2 将透过两个底片的所有光线集中到光电倍加管上。假定 P_1, P_2 底片上对应点 A, B 的透过率为 T_1, T_2 。众所周知, 用光强为 I_0 的光线透过 A, B 后, 光电倍加管接收到的光强为

$$I = I_0 T_1 T_2.$$

为了正确地实现对应点的两两相乘, 光路中几何尺寸要满足

$$l \ll \frac{Fd}{\Delta S}. \quad (3)$$

其中 l —两底片间的距离; F — L_1 透镜焦距; ΔS —光源尺寸; d —被分析函数的最小周期。

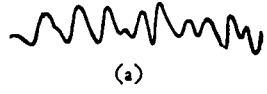
如果在 P_1 底片处放置一狭缝, 改变狭缝的大小就可获得不同的积分区间。

因为输入信号是采用变密度的方式记录在胶片上的, 所以要充分注意这种方式的特点和胶片的性能。

二、实验装置

实验装置如图 3 所示。

装置上有两个圆鼓, 一是分析鼓, 一是输出记录鼓。分析鼓相当于图 3 中的 P_2 , 用以



(a)

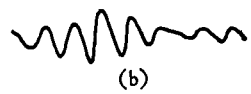


图 2

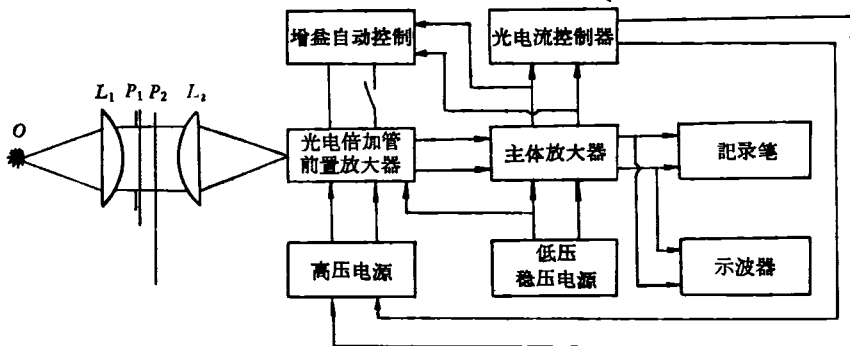


图 3 实验装置方框图

O —点光源; L_1, L_2 —透镜; P_1, P_2 —变密度底片.

固定输入信号的底片. 在 P_1 位置处放置一狭缝, 标准信号放在狭缝上, 改变狭缝的大小即可获得恰当的积分区间. 本装置的最大积分区间可达 160 毫秒, 转动圆鼓即可实现时间移动. 相关函数输出用热描笔记录在热敏纸上, 也可以从示波器上监视输出信号.

三、实验结果与分析

利用这台光学相关仪进行了相关原理试验和地震勘探资料的分析, 其结果如图 4、6、8 和 10 所示.

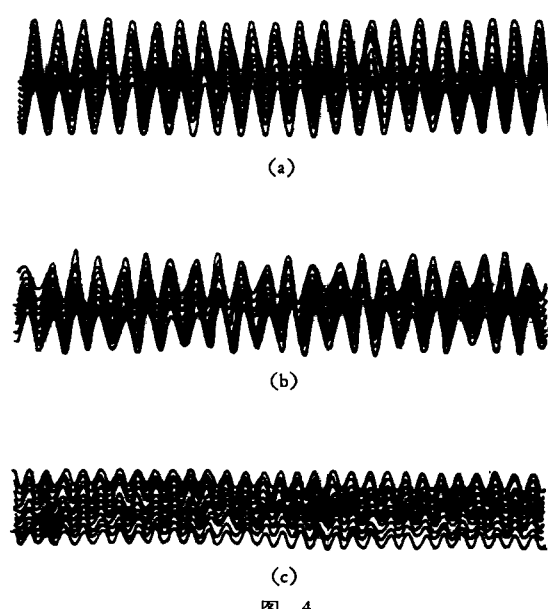


图 4

- (a) 45 周/秒的正弦波与 45 周/秒的正弦波相关的结果;
- (b) 45 周/秒的正弦波与 45 周/秒和 60 周/秒相迭加的正弦波相关的结果;
- (c) 45 周/秒的正弦波与 60 周/秒的正弦波相关的结果

众所周知, 互相关是两个函数相似程度的分析. 它们间的频率愈接近其相关函数值就愈大. 如图 4 就是用 45 周/秒的正弦波作为标准信号, 与几种不同频率的正弦波相关的结果.

这个结果说明, 如果所分析的函数是由几种不同频率的波迭加时, 利用相关分析可以突出所期望的频率(或波形). 在地震勘探资料分析中, 如果选好某个测区的标准子波, 并与被干扰或被干涉的地震勘探记录进行相关运算时, 就可突出所期望的有效波.

图 5 是理论的相关计算结果, 它和图 4 的实验结果是非常接近的.

图 6 是用 33 周/秒的正弦波作为标准信号分别与 20、25、30、32、33、35 周/秒的正弦波相关的结果.

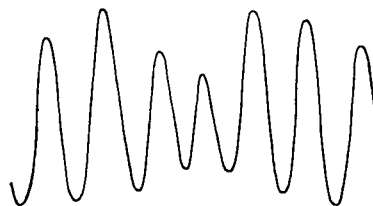


图 5 理论的相关计算结果

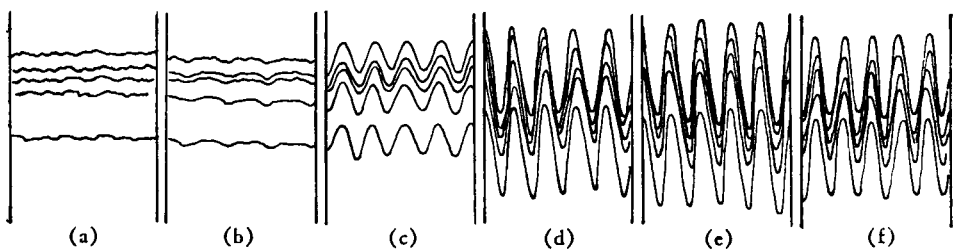


图 6

- (a) 33 周/秒的正弦波与 20 周/秒的正弦波相关的结果;
- (b) 33 周/秒的正弦波与 25 周/秒的正弦波相关的结果;
- (c) 33 周/秒的正弦波与 30 周/秒的正弦波相关的结果;
- (d) 33 周/秒的正弦波与 32 周/秒的正弦波相关的结果;
- (e) 33 周/秒的正弦波与 33 周/秒的正弦波相关的结果;
- (f) 33 周/秒的正弦波与 35 周/秒的正弦波相关的结果

从图 6 中可以看出,互相关分析对频率是十分灵敏的,如频率相差 2 周,互相关函数值就会有很明显的差别。

在地震勘探资料中,互相关分析是压制干扰突出有效波的一种有效方法。特别是在地震记录中为“白色噪音”迭加时,互相关分析可以作为一个最佳滤波器,以最大的信噪比突出有效波。不过,在处理地震勘探记录时,必须充分注意标准子波的选择和恰当的积分区间。标准子波可以选用同一测区的较好层次的反射波。但是,在地震地质条件比较复杂的地区,没有获得较好层次的反射波时,标准子波亦可采用相当测区主频的正弦波,适当改变区间的大小,使其频谱接近于该测区有效波的频谱曲线,也能取得较好的结果。这对光学相关仪来讲是非常容易实现的,既不改变仪器本身结构,也不需要增加任何元件。图 8 就是采用 30 周/秒的正弦波和 $1\frac{1}{2}$ 波长的积分区间所得的结果。

图 7 是与图 8 完全相同的五张连续对比的地震勘探记录,但未经光学相关仪处理。比较这两张图,可以明显地看出图 7 的 T_2 层由于干扰波迭加的结果,使连续对比造成了一定的困难。特别是其中第三张的后几道(每张地震勘探记录共有 24 道最上面的为第一道,最下面的第 24 道)与第四张的前几道更为明显。而图 8 是经过光学相关仪处理后的记录,不仅记录面貌非常清晰,最主要的是可以完全保证 T_2 层正确的进行连续对比。

图 9 是未经光学相关仪处理的地震勘探记录。图 10 是完全与图 9 相同的记录,但采用了邻近较好的 T_2 层反射波作为标准子波,并经过光学相关仪处理。比较这两张图,可以更明显地看出,图 9 中 T_2 层的下面一些道,由于干扰波迭加其上,所以无论从动力学特

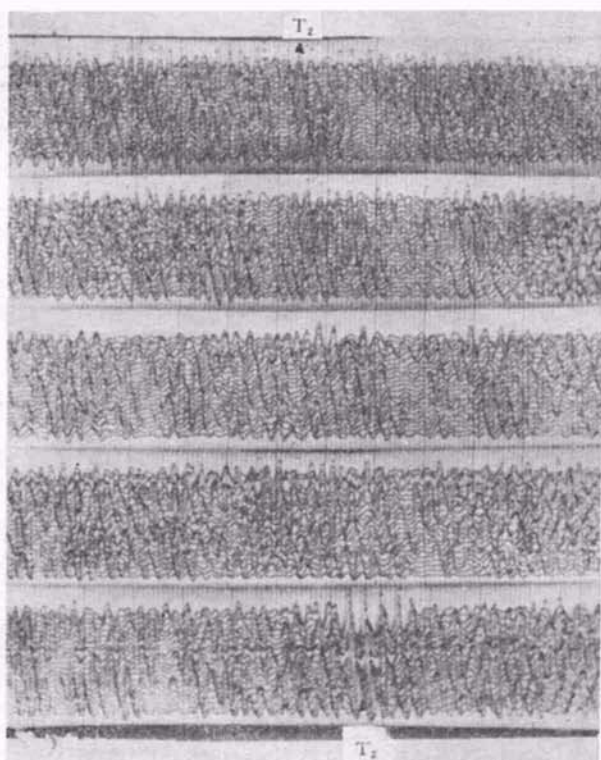


图7 未经光学相关仪处理的地震勘探记录

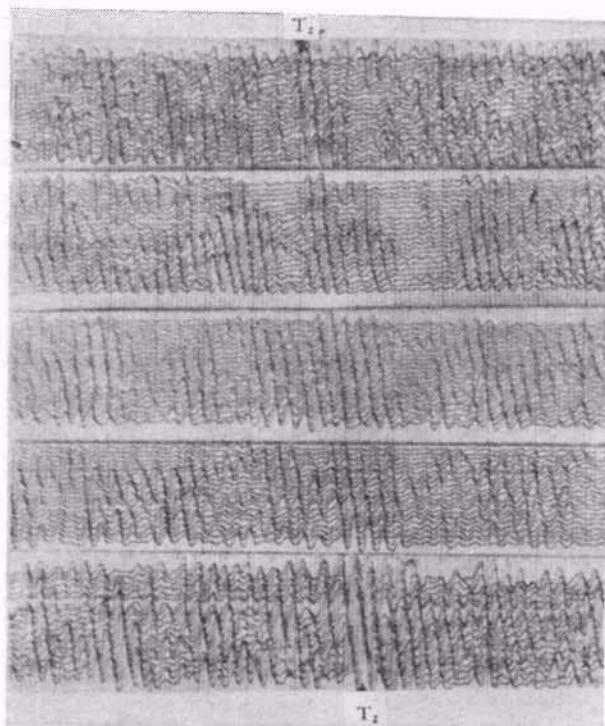


图8 经光学相关仪处理后的地震勘探记录

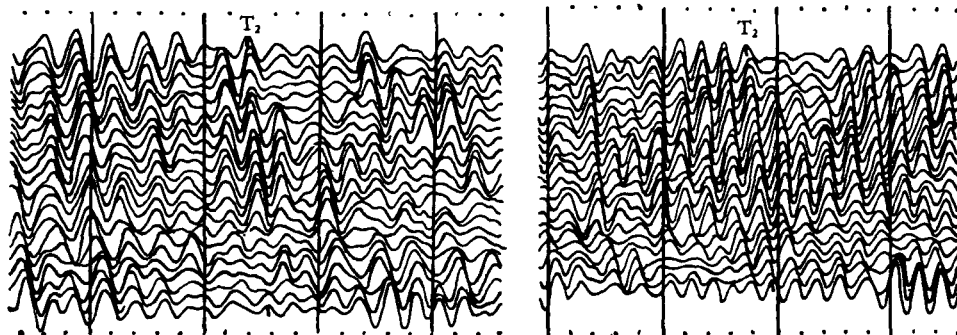


图9 未经光学相关仪处理的地震勘探记录

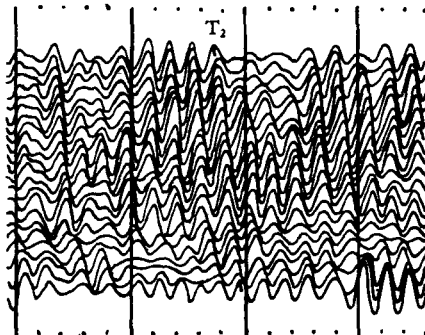


图10 经光学相关仪处理后的地震勘探记录

征或运动学特征来分析都是无法进行对比的。而经光学相关仪处理后，可以正确地进行连续对比。显著地提高了同相轴品质1—2级。

参 考 文 献

- [1] В. А. Зверев, Е. Ф. Орлов, *Оптические анализаторы*, 1971.